

УДК 531.38

**ОПТИМИЗАЦИЯ УПРАВЛЯЕМЫХ ВРАЩЕНИЙ ТВЕРДОГО ТЕЛА
С УПРУГИМ СТЕРЖНЕМ С ПОМОЩЬЮ ПЕРВЫХ ИНТЕГРАЛОВ
СВОБОДНОЙ СИСТЕМЫ**

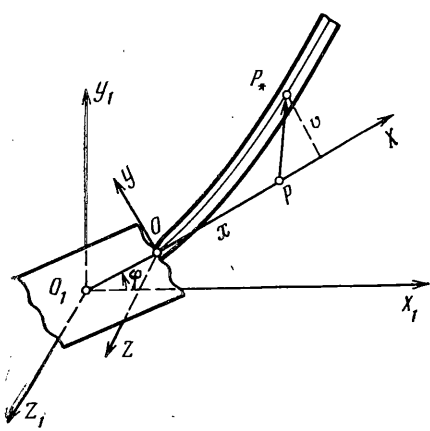
БЕРБЮК В. Е.

Исследуются задачи оптимального управления плоскими вращательными движениями твердого тела и жестко связанного с ним упругого стержня. Для оценки качества процесса управления применяются функционалы: квадратичный по управлению, быстродействия и функционал типа Больца [1]. Движение рассматриваемой системы описывается интегралами дифференциальными уравнениями и граничными условиями [2, 3] в рамках предположений линейной теории тонких прямолинейных нерастяжимых упругих стержней [4]. Ставятся задачи: перевести систему из заданного начального в заданное конечное фазовое состояние и минимизировать квадратичный по управлению функционал или время процесса управления; определить управляющее воздействие, минимизирующее функционал Больца на движениях системы при фиксированном времени процесса управления и свободном правом конце фазовой траектории. Эти постановки возникают при рассмотрении ряда прикладных задач управления системами с упругими связями, такими, как роботы и манипуляторы, грузоподъемные машины и др. В развитии результатов [5] доказаны утверждения, дающие решения поставленных задач оптимального управления на основе использования первых интегралов уравнений движения свободной системы. В качестве примера рассмотрена задача оптимального по квадратичному функционалу поворота твердого тела с упругим стержнем из состояния покоя на заданный угол с гашением упругих колебаний стержня с точностью до низшей моды.

Задачам оптимизации управляемых движений механических систем с упругими связями в различных постановках посвящен ряд работ [1–14 и др.]

1. Рассматривается механическая система, состоящая из твердого тела и жестко связанного с ним упругого нерастяжимого прямолинейного стержня (фигура). Система может совершать вращательные движения в плоскости $O_1X_1Y_1$ инерциального пространства $O_1X_1Y_1Z_1$. Перпендикулярная плоскости движения ось O_1Z_1 — ось вращения, относительно которой применен момент управляющих сил M . Введем вращающуюся в инерциальном пространстве вместе со стержнем систему координат $OXYZ$ с началом в центре шарнира крепления (точка O). Ось OX зададим по направлению касательной к нейтральной линии стержня в точке O , ось OZ — по направлению оси вращения O_1Z_1 .

Уравнения и граничные условия, описывающие управляемые движения рассматриваемой механической системы, имеют вид [2, 3]:



$$J\dot{\varphi} + \int_0^l \rho(x) (x+a) v_{tt}(x, t) dx = M \quad (1.1)$$

$$E[I(x)v_{xx}]_{xx} + \rho(x)v_{tt} = -\rho(x)(x+a)\dot{\varphi} + \dot{\varphi}^2[\rho(x)v + (b_*v_x)_x] \quad (1.2)$$

$$v(0, t) = v_x(0, t) = 0 \quad (1.3)$$

$$v_{xx}(l, t) = v_{xxx}(l, t) = 0 \quad (1.4)$$

$$b_*(x) = \int_x^l (a+\xi) \rho(\xi) d\xi,$$

$$J = J_1 + \int_0^l (x+a)^2 \rho(x) dx$$

В формулах (1.1)–(1.4) использованы обозначения (фигура): x – абсцисса точки P в подвижной системе координат $OXYZ$ ($0 \leq x \leq l$), l – длина стержня, $\rho(x)$ – линейная плотность, E – модуль Юнга, $I(x)$ – момент инерции поперечного сечения стержня относительно оси, перпендикулярной плоскости изгиба, J_1 – момент инерции твердого тела относительно оси вращения, a – расстояния от оси вращения до точки O , φ – угол поворота твердого тела, $v(x, t)$ – проекция на ось OY вектора перемещения точки P упругой оси стержня с координатой x в момент времени t . Точкой обозначается полная производная по времени t , индексами x или t – соответствующие частные производные.

Уравнение (1.1) выражает теорему об изменении момента количества движения всей системы относительно оси O_1Z_1 , (1.2) описывает малые упругие отклонения точек стержня от своего равновесного состояния. Границные условия (1.3) – кинематического характера и следуют из свойств введенной системы координат $OXYZ$, (1.4) – динамического характера и выражают отсутствие изгибного момента и попречной силы на конце стержня при $x=l$. Вывод уравнений (1.1), (1.2) при более общих предположениях приведен в [2, 3]. При отсутствии несущего твердого тела, т. е. при $J_1=a=0$, из (1.1), (1.2) следуют уравнения для управляемого вращения упругого стержня [42].

Возможна постановка следующих задач управления.

Задача 1.1. Определить управляемый момент $M(t)$, перемещающий систему в силу уравнений и граничных условий (1.1)–(1.4) за заданное время $T-t_0$ из начального состояния

$$\varphi(t_0)=\varphi_0, \dot{\varphi}(t_0)=\dot{\varphi}_0, v(x, t_0)=f_0(x), v_t(x, t_0)=g_0(x) \quad (1.5)$$

в конечное

$$\varphi(T)=\varphi_T, \dot{\varphi}(T)=\dot{\varphi}_T, v(x, T)=f_T(x), v_t(x, T)=g_T(x) \quad (1.6)$$

и минимизирующий функционал

$$\Phi_1(M)=\frac{1}{2} \int_{t_0}^T M^2(t) dt, \quad |M(t)| < \infty \quad (1.7)$$

Задача 1.2. Найти управляемое воздействие $M(t)$, удовлетворяющее ограничению

$$\int_{t_0}^T M^2(t) dt \leq L, \quad 0 \leq t_0 < T < \infty, \quad 0 < L < \infty \quad (1.8)$$

и перемещающее систему (1.1)–(1.4) из начального состояния (1.5) в конечное (1.6) за наименьшее время.

Задача 1.3. Определить управляемое воздействие $M(t)$, $|M(t)| < \infty$, минимизирующее функционал

$$\Phi_2(M)=F_2[\varphi(T), \dot{\varphi}(T), v(l, T), v_t(l, T)] + \frac{1}{2} \int_{t_0}^T M^2(t) dt \quad (1.9)$$

при дифференциальных связях (1.1), (1.2), граничных условиях (1.3), (1.4), начальном состоянии (1.5) и заданном времени управления $T-t_0$.

Здесь t_0 , T – моменты начала и окончания процесса управления, $f_0(x)$, $g_0(x)$, $f_T(x)$, $g_T(x)$ – заданные функции, согласованные с граничными условиями (1.3), (1.4). Конечные условия (1.6) довольно общие и позволяют рассмотреть ряд задач управления движением рассматриваемой системы, представляющих интерес для приложений. В частности, можно поставить задачу о повороте твердого тела на заданный угол с гашением колебаний стержня: $\varphi(T)=\varphi_T$, $\dot{\varphi}(T)=0$, $v(x, T)=v_t(x, T)=0$. В задаче 1.3 конечные условия не заданы, т. е. рассматривается вариационная задача с фиксированным временем процесса управления и свободным правым концом.

Управляемое воздействие $M(t)$ в задачах 1.1 и 1.2 выбирается из достаточно широкого класса кусочно-гладких интегрируемых с квадратом функций. Величина функционала $\Phi_1(M)$ и ограничение на момент $M(t)$ вида (1.8) в случае электромеханических приводов управления может играть роль соответственно оценки и ограничения энергии, затрачиваемой в процессе управления [9]. Функционал $\Phi_2(M)$ позволяет оценить качество управления движением системы с учетом упругих смещений незакрепленного конца стержня. Терминальная составляющая функционала $\Phi_2(M)$ – заданная дифференцируемая функция фазовых координат системы при $x=l$ и $t=T$.

Пусть угловая скорость вращения твердого тела мала по сравнению с низшей частотой упругих колебаний стержня. Тогда в силу предположений линейной теории тонких упругих стержней в уравнении (1.2) члены с Φ^2 должны быть опущены как более высокого порядка малости [4, 13].

С учетом принятого предположения в практически важном случае $\rho, I=\text{const}$ с помощью линейных преобразований размерных переменных по формулам: $x'=x/l, t'=v(t-t_0), v'=v/l, a'=a/l, M'=M/(\rho l^3 v^2), J'=J/(\rho l^3), L'=L/(\rho^2 l^6 v^3), F_2'=F_2/(\rho^2 l^6 v^3), \Phi_1'=\Phi_1/(\rho^2 l^6 v^3), \Phi_2'=\Phi_2/(\rho^2 l^6 v^3), v^2=EI/(\rho l^4)$ уравнения (1.1), (1.2) могут быть записаны в виде (штрихи в новых переменных опущены)

$$J\dot{\varphi}'' + \int_0^1 (x+a) v_{tt}(x, t) dx = M \quad (1.10)$$

$$v_{xxxx} + v_{ttt} = -(x+a)\ddot{\varphi} \quad (1.11)$$

Запись граничных условий для $v(x, t)$, начального и конечного фазовых состояний системы, ограничений на управление и функционалов $\Phi_i(M)$ остается прежней и определяется соотношениями (1.3)–(1.9) при $l=1, t_0=0$.

2. Для заданной функции $M(t)$ решение уравнений (1.10), (1.11) с граничными (1.3), (1.4) и начальными (1.5) условиями может быть построено методом Фурье. Разделение переменных позволяет с учетом краевых условий найти ортогональную систему собственных функций $\{X_n(x)\}$, $x \in [0, 1]$. В результате искомая функция $v(x, t)$ равна

$$v(x, t) = \sum_{n=1}^{\infty} v_n(t) X_n(x), \quad t \in [0, T], \quad x \in [0, 1] \quad (2.1)$$

$$X_n(x) = D_n [\operatorname{ch} \lambda_n x - \cos \lambda_n x + \gamma_n (\sin \lambda_n x - \operatorname{sh} \lambda_n x)]$$

$$\gamma_n = (\operatorname{ch} \lambda_n + \cos \lambda_n) / (\operatorname{sh} \lambda_n + \sin \lambda_n) \quad (n=1, 2, \dots)$$

Здесь λ_n ($n=1, 2, \dots$) – занумерованные в порядке возрастания положительные корни характеристического уравнения $\cos \lambda \operatorname{ch} \lambda = -1$, D_n – произвольные постоянные, $v_n(t)$ – некоторые функции, подлежащие определению.

Подставляя (2.1) в соотношения (1.10), (1.11) и учитывая свойства собственных функций $X_n(x)$, после ряда преобразований уравнения (1.10), (1.11) и условия (1.5), (1.6) сводятся к следующей счетной системе обыкновенных дифференциальных уравнений с начальными и конечными условиями

$$J\dot{\varphi}'' + \sum_{n=1}^{\infty} B_n v_n'' = M, \quad v_n'' + \lambda_n^4 v_n = -C_n \ddot{\varphi}, \quad t \in [0, T] \quad (2.2)$$

$$C_n = \left[\int_0^1 (x+a) X_n(x) dx \right] \left[\int_0^1 X_n^2(x) dx \right]^{-1}, \quad B_n = C_n \int_0^1 X_n^2(x) dx$$

$$\varphi(0) = \varphi_0, \quad \dot{\varphi}(0) = \dot{\varphi}_0, \quad v_n(0) = f_{0n}, \quad \dot{v}_n(0) = g_{0n}$$

$$\varphi(T) = \varphi_T, \quad \dot{\varphi}(T) = \dot{\varphi}_T, \quad v_n(T) = f_{Tn}, \quad \dot{v}_n(T) = g_{Tn} \quad (n=1, 2, \dots)$$

где $f_{0n}, g_{0n}, f_{Tn}, g_{Tn}$ – коэффициенты Фурье функций $f_0(x), g_0(x), f_T(x), g_T(x)$ по системе $\{X_n(x)\}$.

Разрешая уравнения (2.2) относительно старших производных и вводя новые переменные $y_{2m-1} = v_m, y_{2m} = \dot{v}_m, v_0 = \varphi, \dot{v}_0 = \dot{\varphi}, m=0, 1, 2, \dots$, окончательно получим

$$y_i = f_i(y) + b_i M \quad (i=-1, 0, 1, \dots) \quad (2.3)$$

$$y_i(0) = y_{0i} \quad (2.4)$$

$$y_i(T) = y_{Ti} \quad (2.5)$$

В формулах (2.3):

$$f_{2m-1}=y_{2m}, \quad b_{2m-1}=0, \quad y=(y_{-1}, y_0, y_1, \dots) \quad (2.6)$$

$$f_0=-\frac{1}{J_*} \sum_{k=1}^{\infty} B_k \lambda_k^4 y_{2k-1}, \quad b_0=\frac{1}{J_*}, \quad J_*=J-\sum_{k=1}^{\infty} C_k B_k$$

$$f_{2n}=-\lambda_n^4 y_{2n-1}-\frac{C_n}{J_*} \sum_{k=1}^{\infty} B_k \lambda_k^4 y_{2k-1}, \quad b_{2n}=-\frac{C_n}{J_*} \quad (n=1, 2, \dots)$$

Таким образом, задачи 1.1–1.3 оптимального управления движением распределенной системой (1.1)–(1.6) сведены к соответствующим задачам управления (ниже обозначаются номерами 2.1–2.3) для счетной линейной системы обыкновенных дифференциальных уравнений (2.3) с начальными (2.4) и конечными (2.5) условиями.

Функционалы и ограничения на управление в задачах 2.1, 2.2 те же, что и в задачах 1.1, 1.2.

В силу введения новых переменных y_i функционал Φ_2 в задаче 2.3 примет вид

$$\Phi_2(M)=F[y(T)]+\frac{1}{2} \int_0^T M^2(t) dt \quad (2.7)$$

где $F[y(T)]$ определяется по функции $F_2[\varphi(T), \dot{\varphi}(T), v(1, T), v_t(1, T)]$ с помощью (2.1) и формул перехода к переменным y_i .

3. При изучении изгибных колебаний стержней в рамках линейной теории и принятых предположений достаточно ограничиться рассмотрением конечного числа мод упругих колебаний. В дальнейшем будут учитываться только первые N мод упругих колебаний стержня и в соотношениях (2.3)–(2.6) полагается $i=-1, 0, \dots, 2N; m=0, 1, \dots, N; k, n=1, 2, \dots, N, y=(y_{-1}, y_0, \dots, y_{2N})$.

Для решения задач 2.1–2.3 применим подход, основанный на использовании первых интегралов уравнений движения свободной системы, являющейся развитием результатов [5]. Пусть известны $w_i(y, t, T)$ ($i=-1, \dots, 2N$) – линейные по фазовым координатам независимые первые интегралы уравнений движения свободной системы:

$$y_i^* = f_i(y_{-1}, y_0, \dots, y_{2N}) \quad (i=-1, 0, \dots, 2N) \quad (3.1)$$

удовлетворяющие условиям

$$w_i(y, T; T) = y_i \quad (i=-1, 0, \dots, 2N) \quad (3.2)$$

Если $G(t, T)$ – фундаментальная матрица линейной стационарной системы уравнений (3.1), то для первых интегралов, удовлетворяющих выше перечисленным требованиям, имеем выражения

$$w_i(y, t, T) = \sum_{m=-1}^{2N} g_{im}^{-1}(t, T) y_m \quad (i=-1, \dots, 2N) \quad (3.3)$$

где $g_{im}^{-1}(t, T)$ – элементы матрицы $G^{-1}(t, T) = G(T, t)$.

Рассмотрим управляющую функцию вида

$$M(t, A) = - \left(\text{grad}_y \sum_{i=-1}^{2N} A_i w_i(y, t, T), b \right) \quad (3.4)$$

где $A = (A_{-1}, A_0, \dots, A_{2N})$ – некоторый вектор, $b = (b_{-1}, \dots, b_{2N})$, grad_y – оператор градиента по переменным y_{-1}, \dots, y_{2N} , $(,)$ – скалярное произведение векторов.

Имеет место следующее

Утверждение 1. Пусть $A_{-1}^*, \dots, A_{2N}^*$ — решение системы уравнений

$$y_i[t, M(t, \mathbf{A})]|_{t=t} = y_{ti} \quad (i = -1, \dots, 2N) \quad (3.5)$$

где $y_i[t, M(t, \mathbf{A})]$ — решение задачи Коши (2.3), (2.4) при $M(t) = M(t, \mathbf{A})$. Тогда управляющее воздействие (3.4) при $A_i = A_i^*$ ($i = -1, \dots, 2N$) доставляет функционалу (1.7) абсолютный минимум при дифференциальных связях (2.3) и граничных условиях (2.4), (2.5), т. е. является решением задачи 2.1. При этом

$$\min_M \Phi_1(M) = \frac{1}{2} \sum_{i=-1}^{2N} A_i^* [w_i(y_0, 0, T) - y_{ti}] \quad (3.6)$$

Для доказательства сформулированного утверждения рассмотрим вспомогательный функционал

$$\begin{aligned} \Phi_1^0(M, \mathbf{A}^*) &= \sum_{i=-1}^{2N} A_i^* y_i(T) + \frac{1}{2} \int_0^T M^2(t) dt + \\ &+ \frac{1}{2} \int_0^T \left(\operatorname{grad}_y \sum_{i=-1}^{2N} A_i^* w_i(y, t, T), \mathbf{b} \right)^2 dt \end{aligned} \quad (3.7)$$

Так как первые интегралы $w_i(y, t, T)$ линейны по переменным y_{-1}, \dots, y_{2N} , то из анализа (3.7) следует, что на множестве управляющих функций $M(t)$, для которых соблюдаются дифференциальные связи (2.3) и граничные условия (2.4), (2.5), функционалы $\Phi_1(M)$ и $\Phi_1^0(M, \mathbf{A}^*)$ отличаются на постоянную величину. Следовательно, при одних и тех же дифференциальных связях (2.3) и граничных условиях (2.4), (2.5) их экстремали совпадают.

Определим экстремали функционала (3.7). Вычислим полную производную от функции $\sum A_i^* w_i(y, t, T)$ в силу уравнений движения (2.3). Получим

$$\frac{d}{dt} \left[\sum_{i=-1}^{2N} A_i^* w_i(y, t, T) \right] = \sum_{i=-1}^{2N} A_i^* \left\{ \frac{\partial w_i}{\partial t} + \sum_{m=-1}^{2N} \frac{\partial w_i}{\partial y_m} [f_m(y) + b_m M] \right\} \quad (3.8)$$

Функции $w_i(y, t, T)$ — первые интегралы уравнений (3.1), следовательно, имеют место соотношения

$$\frac{\partial w_i}{\partial t} + (\operatorname{grad}_y w_i, \mathbf{f}) = 0 \quad (i = -1, \dots, 2N) \quad (3.9)$$

С учетом (3.9) из (3.8) окончательно имеем

$$\frac{d}{dt} \left[\sum_{i=-1}^{2N} A_i^* w_i(y, t, T) \right] = M(t) \left(\operatorname{grad}_y \sum_{i=-1}^{2N} A_i^* w_i(y, t, T), \mathbf{b} \right) \quad (3.10)$$

Проинтегрируем (3.10) по времени в пределах от 0 до T и, учитывая (2.4), (3.2), получим

$$\sum_{i=-1}^{2N} A_i^* y_i(T) = \sum_{i=-1}^{2N} A_i^* w_i(y_0, 0, T) + \int_0^T M(t) \left(\operatorname{grad}_y \sum_{i=-1}^{2N} A_i^* w_i(y, t, T), \mathbf{b} \right) dt \quad (3.11)$$

Подставляя (3.11) в (3.7), функционал $\Phi_1^0(M, \mathbf{A}^*)$ примет вид

$$\Phi_1^0(M, \mathbf{A}^*) = \sum_{i=-1}^{2N} A_i^* w_i(y_0, 0, T) +$$

$$+ \frac{1}{2} \int_0^T \left[M + \left(\operatorname{grad}_y \sum_{i=-1}^{2N} A_i^* w_i(y, t, T), \mathbf{b} \right) \right]^2 dt \quad (3.12)$$

Первое слагаемое в (3.12) не зависит от выбора управления M , поэтому из (3.12) непосредственно следует, что управление вида (3.4) при $A_i = A_i^*$ ($i = -1, \dots, 2N$) доставляет функционалу $\Phi_1(M, \mathbf{A}^*)$ абсолютный минимум. При этом

$$\min_M \Phi_1(M, \mathbf{A}^*) = \sum_{i=-1}^{2N} A_i^* w_i(y_0, 0, T) \quad (3.13)$$

Для доказательства соотношения (3.6) подставим в формулу (3.7) управление (3.4) при $A_i = A_i^*$ и с учетом (1.7), (2.5): получим

$$\min_M \Phi_1(M, \mathbf{A}^*) = \sum_{i=-1}^{2N} A_i^* y_{ti} + 2 \min_M \Phi_1(M) \quad (3.14)$$

Из формул (3.13), (3.14) следует справедливость соотношения (3.6), что и завершает доказательство утверждения 1.

Таким образом, решение задачи оптимального управления вращением твердого тела с упругим стержнем, определяемой формулами (2.3) – (2.6), (1.7), может быть получено следующей процедурой.

1°. Определяем линейные по фазовым координатам y независимые первые интегралы системы уравнений (3.1), удовлетворяющие условиям (3.2).

2°. Формируем управляющее воздействие по закону (3.4) и решаем задачу Коши (2.3), (2.4) при $M = M(t, \mathbf{A})$.

3°. Определив константы A_i^* из решения алгебраической системы уравнений (3.5), вычисляем искомое оптимальное управление и минимальное значение функционала (1.7) по формулам (3.4), (3.6) при $A_i = A_i^*$.

Допустим, что решение задачи 2.1 существует при любом $T \in (0, \infty)$ и определяется формулами (3.4) – (3.6). Обозначим через T_* наименьшее положительное значение T

$$\sum_{i=-1}^{2N} A_i^*(T) [w_i(y_0, 0, T) - y_{ti}] \leq L$$

где $A_i^*(T)$ определяется из решения (3.5) при $T = T_*$. Тогда из полученных выше результатов следует, что при $T = T_*$, $A_i = A_i^*(T_*)$ управляющее воздействие вида (3.4) удовлетворяет ограничению (1.8) и перемещает твердое тело с упругим стержнем из начального состояния (2.4) в конечное (2.5) за наименьшее время, т. е. является решением задачи 2.2.

Рассмотрим вариационную задачу 2.3. Имеет место следующее

Утверждение 2. Пусть $w(y, t)$ – первый интеграл уравнений движения свободной системы (3.1), удовлетворяющий условиям

$$w(y, t)|_{t=t} = F(y), \quad y \in \Omega \quad (3.15)$$

$$\operatorname{grad}_y(\operatorname{grad}_y w, \mathbf{b}) = 0, \quad \{y, t\} \in \Omega \times [0, T] \quad (3.16)$$

где Ω – некоторое открытое множество евклидова пространства E_{2N+2} .

Тогда управляющее воздействие вида

$$M_*(t) = -(\operatorname{grad}_y w(y, t), \mathbf{b}) \quad (3.17)$$

доставляет функционалу (2.7) абсолютный минимум при дифференциальных связях (2.3) и начальном условии (2.4). Минимум функционала (2.7) равен

$$\Phi_2(M_*) = w(y_0, 0) - \frac{1}{2} \int_0^T M_*^2(t) dt \quad (3.18)$$

В силу вида формул (2.6) и принятого предположения о терминальной составляющей функционала (1.9) функции $f(y)$ и $F(y)$ дифференцируемы по переменным y_{-1}, \dots, y_{2n} , а значит, решение задачи Коши

$$\partial u(y, t)/\partial t + (\text{grad}_y u, \mathbf{f}) = 0, \quad u(y, t)|_{t=t} = F(y) \quad (3.19)$$

существует и единственно [15]. Следовательно, выполнение условия (3.15) можно обеспечить, так как решение задачи (3.19) определяет нужный первый интеграл $w(y, t)$ уравнений (3.1).

Ограничение (3.16) состоит в том, что в каждой точке $\{y, t\} \in \Omega \times [0, T]$ скорость изменения первого интеграла $w(y, t)$ в направлении вектора \mathbf{b} не должна зависеть от фазовых координат y_{-1}, \dots, y_{2n} , а быть неизменной или функцией только времени t . Из (3.16) следует, что управление (3.17) является программным, равно по модулю и обратно по знаку скорости изменения первого интеграла $w(y, t)$ в направлении вектора \mathbf{b} .

Для доказательства утверждения 2 рассмотрим вспомогательный функционал

$$\Phi_2^0(M) = F[y(T)] + \frac{1}{2} \int_0^T [M^2(t) + (\text{grad}_y w, \mathbf{b})^2] dt \quad (3.20)$$

где $w(y, t)$ — первый интеграл уравнений (3.1), удовлетворяющий условиям (3.15), (3.16).

С учетом того, что функция $w(y, t)$ является решением задачи Коши (3.19), функционал $\Phi_2^0(M)$ преобразованиями, аналогичными как и при доказательстве утверждения 1, может быть записан в виде

$$\Phi_2^0(M) = w(y_0, 0) + \frac{1}{2} \int_0^T [M(t) + (\text{grad}_y w, \mathbf{b})]^2 dt \quad (3.21)$$

Так как y_0 задано, а $w(y, t)$ — первый интеграл уравнений движения свободной системы, то величина $w(y_0, 0)$ от выбора управления M не зависит. Из анализа (3.21) непосредственно следует, что управление вида (3.17) доставляет функционалу (3.20) абсолютный минимум, который равен

$$\Phi_2^0(M_*) = w(y_0, 0) \quad (3.22)$$

Из сравнения функционалов $\Phi_2(M)$ и $\Phi_2^0(M)$ следует, что имеет место соотношение

$$\Phi_2^0(M) = \Phi_2(M) + \frac{1}{2} \int_0^T (\text{grad}_y w, \mathbf{b})^2 dt \quad (3.23)$$

В силу условия (3.16) подынтегральная функция в (3.23) не зависит от фазовых координат. Следовательно, интегральная составляющая в формуле (3.23) может быть заранее вычислена и представляет собой известную постоянную. Таким образом, функционалы $\Phi_2(M)$ и $\Phi_2^0(M)$, определенные на одном и том же множестве управлений, при одних и тех же дифференциальных связях и граничных условиях отличаются на постоянную величину. Значит, их экстремали совпадают, т. е. управление (3.17) доставляет абсолютный минимум функционалу $\Phi_2(M)$. Справедливость соотношения (3.18) непосредственно следует из (2.7), (3.17), (3.22), (3.23).

Утверждение 2 доказано и задача 2.3 в рамках принятых предположений решена.

4. Для иллюстрации эффективности применения полученных в п. 3 результатов рассмотрим решение задачи оптимального управления вида (2.3) — (2.5), (1.7) в случае, когда требуется повернуть твердое тело с упругим стержнем из состояния покоя на заданный угол и погасить колебания стержня с точностью до низшей моды.

Уравнения движения и граничные условия следуют из (2.3) — (2.6) и имеют вид

$$y = Ky + bM, \quad y_i(0) = 0 \quad (i = -1, 0, 1, 2) \quad (4.1)$$

$$y_{-1}(T) = \varphi_T, \quad y_0(T) = y_1(T) = y_2(T) = 0 \quad (4.2)$$

$$K = \begin{vmatrix} 0 & 1 & 0 & 0 \\ 0 & 0 & l_1 & 0 \\ 0 & 0 & 0 & 1 \\ 0 & 0 & l_2 & 0 \end{vmatrix}, \quad b = \begin{vmatrix} 0 \\ \frac{1}{J_*} \\ 0 \\ -\frac{C_1}{J_*} \end{vmatrix}$$

$$l_1 = \lambda_1^4 B_1 / J_*, \quad l_2 = -\lambda_1^4 (1 + C_1 B_1 / J_*)$$

Фундаментальная матрица уравнений движения свободной системы (4.1) при $M=0$) имеет вид

$$G(t, T) = \frac{\gamma - \operatorname{sh} \gamma}{l_2 \sqrt{l_2}} K^3 + \frac{\operatorname{ch} \gamma - 1}{l_2} K^2 - \frac{\gamma}{\sqrt{l_2}} K + E_1 \quad (4.3)$$

где $\gamma = \sqrt{l_2}(T-t)$, E_1 — единичная матрица размерности 4×4 .

С учетом (4.3) и соотношения $G^{-1}(t, T) = G(T, t)$ по формулам (3.3) определяем линейные по фазовым координатам независимые первые интегралы, удовлетворяющие условиям (3.2)

$$\begin{aligned} w_{-1}(y, t, T) &= y_{-1} + \frac{\gamma}{\sqrt{l_2}} y_0 + \frac{l_1}{l_2} (\operatorname{ch} \gamma - 1) y_1 + \frac{l_1}{l_2 \sqrt{l_2}} (\operatorname{sh} \gamma - \gamma) y_2 \\ w_0(y, t, T) &= y_0 + \frac{l_1 \operatorname{sh} \gamma}{\sqrt{l_2}} y_1 + \frac{l_1 (\operatorname{ch} \gamma - 1)}{l_2} y_2 \end{aligned} \quad (4.4)$$

$$w_1(y, t, T) = y_1 \operatorname{ch} \gamma + y_2 \operatorname{sh} \gamma / \sqrt{l_2}, \quad w_2(y, t, T) = \sqrt{l_2} y_1 \operatorname{sh} \gamma + y_2 \operatorname{ch} \gamma$$

На основании формул (3.4), (4.4) после преобразований искомое оптимальное управление можно записать в виде

$$M_*(t) = \xi_1 + \xi_2(T-t) + \xi_3 \operatorname{sh} \sqrt{l_2}(T-t) + \xi_4 \operatorname{ch} \sqrt{l_2}(T-t).$$

Константы ξ_j определяются исходя из решения краевой задачи (4.1), (4.2) при $M=M_*(t)$ и могут быть легко рассчитаны по формулам $\xi_j = \Delta_j / \Delta$ ($j = 1, 2, 3, 4$), где Δ — определитель матрицы $\|C_{ij}\|$, Δ_j — определитель матрицы, получаемой заменой j -го столбца в $\|C_{ij}\|$ вектором p . При этом элементы C_{ij} , p_j определяются формулами

$$\begin{aligned} C_{11} = C_{33} &= (\operatorname{ch} \eta - 1) / \sqrt{l_2}, \quad C_{12} = C_{43} = (\eta \operatorname{ch} \eta - \operatorname{sh} \eta) / l_2 \\ C_{13} &= 1/4 (\operatorname{sh} 2\eta - 2\eta) / \sqrt{l_2}, \quad C_{14} = C_{23} = 1/2 \operatorname{sh}^2 \eta / \sqrt{l_2} \\ C_{21} = C_{34} &= \operatorname{sh} \eta / \sqrt{l_2}, \quad C_{22} = C_{44} = (1 + \eta \operatorname{sh} \eta - \operatorname{ch} \eta) / l_2 \\ C_{24} &= 1/4 (\operatorname{sh} 2\eta + 2\eta) / \sqrt{l_2}, \quad C_{31} = T, \quad C_{32} = C_{41} = T^2 / 2 \\ C_{42} &= T^3 / 3, \quad \eta = T \sqrt{l_2}, \quad p_1 = p_2 = p_3 = 0 \\ p_4 &= \varphi_T J_* l_2 / (l_2 + C_1 l_1) \end{aligned}$$

Эти результаты могут быть получены также, исходя из принципа максимума [16].

ЛИТЕРАТУРА

1. Мусеев Н. Н. Элементы теории оптимальных систем. М.: Наука, 1975. 528 с.
2. Бербюк В. Е. Об управляемом вращении системы двух твердых тел с упругими элементами. — ПММ, 1984, т. 48, вып. 2, с. 238–246.
3. Бербюк В. Е., Демидюк М. В. Об управляемом движении упругого манипулятора с распределенными параметрами. — Изв. АН СССР. МТТ, 1984, № 2, с. 59–67.
4. Щурье А. И. Аналитическая механика. М.: Физматгиз, 1961. 824 с.
5. Бербюк В. Е. Использование первых интегралов в задачах синтеза оптимальных систем управления. — ПММ, 1986, т. 50, вып. 1, с. 17–23.
6. Бутковский А. Г. Методы управления системами с распределенными параметрами. М.: Наука, 1975. 568 с.
7. Троцкий В. А. Оптимальные процессы колебаний механических систем. Л.: Машиностроение, 1976. 248 с.

8. Сиразетдинов Т. К. Оптимизация систем с распределенными параметрами. М.: Наука, 1977. 479 с.
9. Черноусько Ф. Л., Акуленко Л. Д., Соколов Б. Н. Управление колебаниями. М.: Наука, 1980. 384 с.
10. Черноусько Ф. Л. Динамика управляемых движений упругого манипулятора.— Изв. АН СССР. Техн. кибернетика, 1981, № 5, с. 142—152.
11. Акуленко Л. Д. Приведение упругой системы в заданное состояние посредством силового граничного воздействия.— ПММ, 1981, т. 45, вып. 6, с. 1095—1103.
12. Акуленко Л. Д., Болотник Н. Н. Об управляемом вращении упругого стержня.— ПММ, 1982, т. 46, вып. 4, с. 587—595.
13. Акуленко Л. Д., Болотник Н. Н. Об управлении поворотом упругого звена манипулятора.— Изв. АН СССР. Техн. кибернетика, 1984, № 1, с. 167—173.
14. Бербюк В. Е., Демидюк М. В. Параметрическая оптимизация в задачах динамики и управления движением упругого манипулятора с распределенными параметрами.— Изв. АН СССР. МТТ, 1986, № 2, с. 81—89.
15. Камке Э. Справочник по дифференциальным уравнениям в частных производных первого порядка. М.: Наука, 1966. 260 с.
16. Понтрягин Л. С., Болтянский В. Г., Гамкrelidze Р. В., Мищенко Е. Ф. Математическая теория оптимальных процессов. М.: Наука, 1976. 392 с.

Львов

Поступила в редакцию
7.V.1986